

Eingabe: Farbmétrisches Fernseh-Licht-System TLS18

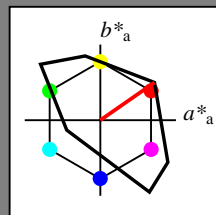
für Buntton  $h^* = lab^*h = 35/360 = 0.097$

$lab^*tch$  und  $lab^*nch$

D65: Buntton O

LCH\*Ma: 53 87 35

olv\*Ma: 1.0 0.0 0.0



TLS18; adaptierte CIELAB-Daten

	$L^*=L^*_a$	$a^*_a$	$b^*_a$	$C^*_{ab,a}$	$h^*_{ab,a}$
O <sub>m</sub>	52.76	71.63	49.88	87.29	35
Y <sub>m</sub>	92.74	-20.02	84.97	87.3	103
L <sub>m</sub>	84.0	-78.98	73.94	108.2	137
C <sub>m</sub>	87.14	-44.41	-13.11	46.32	196
V <sub>m</sub>	35.47	64.92	-95.06	115.12	304
M <sub>m</sub>	59.01	89.33	-55.67	105.26	328
N <sub>m</sub>	18.01	0.0	0.0	0.0	0
W <sub>m</sub>	95.41	0.0	0.0	0.0	0
R <sub>CIE</sub>	39.92	58.74	27.99	65.07	25
J <sub>CIE</sub>	81.26	-2.88	71.56	71.62	92
G <sub>CIE</sub>	52.23	-42.41	13.6	44.55	162
B <sub>CIE</sub>	30.57	1.41	-46.46	46.49	272

Dreiecks-Helligkeit  $t^*$

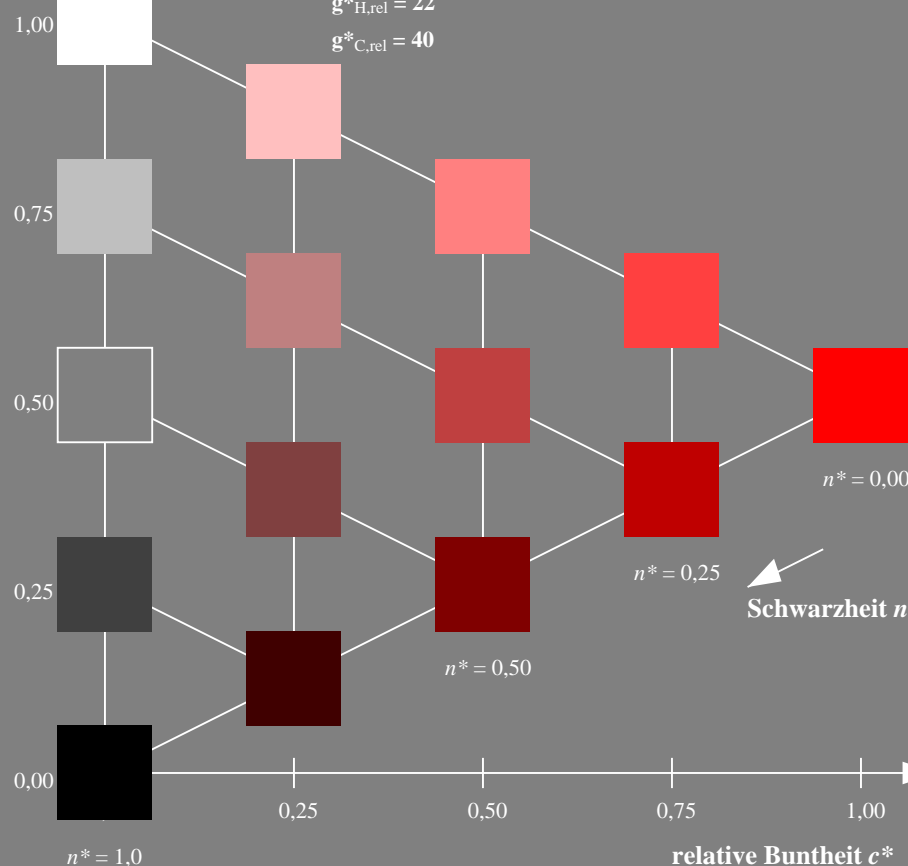
%Umfang

$u^*_{rel} = 118$

%Regularität

$g^*_{H,rel} = 22$

$g^*_{C,rel} = 40$



NG290-7, 5 stufige Reihen für konstanten CIELAB Buntton 35/360 = 0.097 (links)

Ausgabe: Farbmétrisches Fernseh-Licht-System TLS18

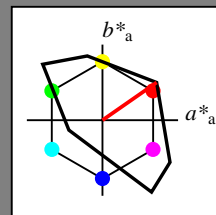
für Buntton  $h^* = lab^*h = 35/360 = 0.097$

$LAB^*LCH$ ,  $LAB^*NCH$

D65: Buntton O

LCH\*Ma: 53 87 35

olv\*Ma: 1.0 0.0 0.0



TLS18; adaptierte CIELAB-Daten

	$L^*=L^*_a$	$a^*_a$	$b^*_a$	$C^*_{ab,a}$	$h^*_{ab,a}$
O <sub>m</sub>	52.76	71.63	49.88	87.29	35
Y <sub>m</sub>	92.74	-20.02	84.97	87.3	103
L <sub>m</sub>	84.0	-78.98	73.94	108.2	137
C <sub>m</sub>	87.14	-44.41	-13.11	46.32	196
V <sub>m</sub>	35.47	64.92	-95.06	115.12	304
M <sub>m</sub>	59.01	89.33	-55.67	105.26	328
N <sub>m</sub>	18.01	0.0	0.0	0.0	0
W <sub>m</sub>	95.41	0.0	0.0	0.0	0
R <sub>CIE</sub>	39.92	58.74	27.99	65.07	25
J <sub>CIE</sub>	81.26	-2.88	71.56	71.62	92
G <sub>CIE</sub>	52.23	-42.41	13.6	44.55	162
B <sub>CIE</sub>	30.57	1.41	-46.46	46.49	272

CIELAB-Helligkeit  $L^*$

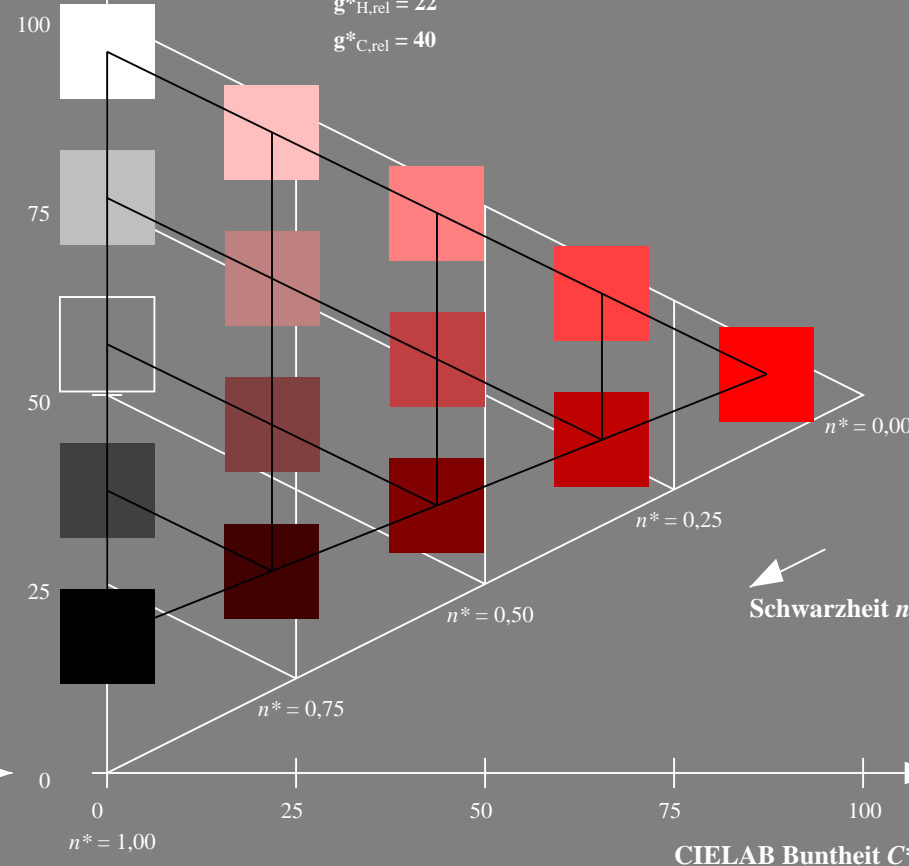
%Umfang

$u^*_{rel} = 118$

%Regularität

$g^*_{H,rel} = 22$

$g^*_{C,rel} = 40$



5 stufige Reihen für konstanten CIELAB Buntton 35/360 = 0.097 (rechts)

BAM-Prüfvorlage NG29; Farbmétrik-Systeme TLS18 & TLS18 input: olv\* setrgbcolor

D65: Koordinatensysteme; 5stufige Farbreihen für 10 Bunttöne output: no change compared to input

Eingabe: Farbmétrisches Fernseh-Licht-System TLS18

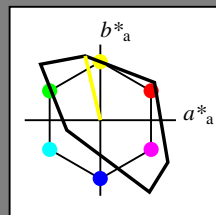
für Buntton  $h^* = lab^*h = 103/360 = 0.287$

$lab^*tch$  und  $lab^*nch$

D65: Buntton Y

LCH\*Ma: 93 87 103

olv\*Ma: 1.0 1.0 0.0



TLS18; adaptierte CIELAB-Daten

	$L^*=L^*_a$	$a^*_a$	$b^*_a$	$C^*_{ab,a}$	$h^*_{ab,a}$
O <sub>m</sub>	52.76	71.63	49.88	87.29	35
Y <sub>m</sub>	92.74	-20.02	84.97	87.3	103
L <sub>m</sub>	84.0	-78.98	73.94	108.2	137
C <sub>m</sub>	87.14	-44.41	-13.11	46.32	196
V <sub>m</sub>	35.47	64.92	-95.06	115.12	304
M <sub>m</sub>	59.01	89.33	-55.67	105.26	328
N <sub>m</sub>	18.01	0.0	0.0	0.0	0
W <sub>m</sub>	95.41	0.0	0.0	0.0	0
R <sub>CIE</sub>	39.92	58.74	27.99	65.07	25
J <sub>CIE</sub>	81.26	-2.88	71.56	71.62	92
G <sub>CIE</sub>	52.23	-42.41	13.6	44.55	162
B <sub>CIE</sub>	30.57	1.41	-46.46	46.49	272

Dreiecks-Helligkeit  $t^*$

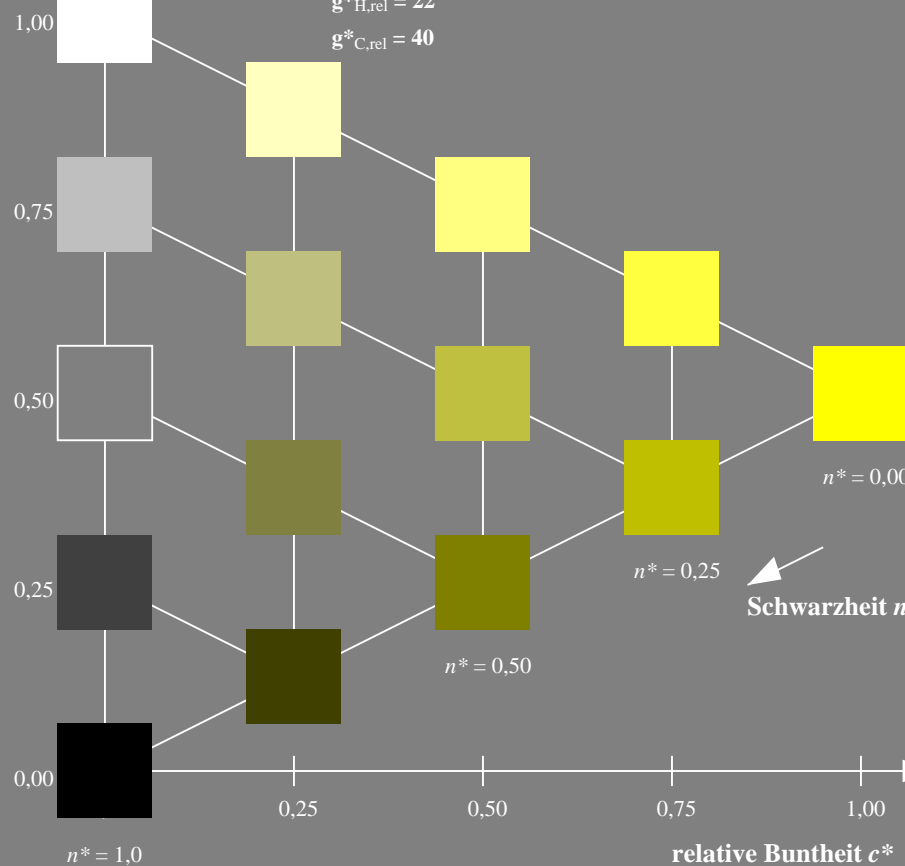
%Umfang

$u^*_{rel} = 118$

%Regularität

$g^*_{H,rel} = 22$

$g^*_{C,rel} = 40$



NG290-7, 5 stufige Reihen für konstanten CIELAB Buntton 103/360 = 0.287 (links)

Ausgabe: Farbmétrisches Fernseh-Licht-System TLS18

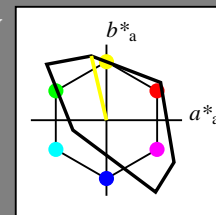
für Buntton  $h^* = lab^*h = 103/360 = 0.287$

$LAB^*LCH$ ,  $LAB^*NCH$

D65: Buntton Y

LCH\*Ma: 93 87 103

olv\*Ma: 1.0 1.0 0.0



TLS18; adaptierte CIELAB-Daten

	$L^*=L^*_a$	$a^*_a$	$b^*_a$	$C^*_{ab,a}$	$h^*_{ab,a}$
O <sub>m</sub>	52.76	71.63	49.88	87.29	35
Y <sub>m</sub>	92.74	-20.02	84.97	87.3	103
L <sub>m</sub>	84.0	-78.98	73.94	108.2	137
C <sub>m</sub>	87.14	-44.41	-13.11	46.32	196
V <sub>m</sub>	35.47	64.92	-95.06	115.12	304
M <sub>m</sub>	59.01	89.33	-55.67	105.26	328
N <sub>m</sub>	18.01	0.0	0.0	0.0	0
W <sub>m</sub>	95.41	0.0	0.0	0.0	0
R <sub>CIE</sub>	39.92	58.74	27.99	65.07	25
J <sub>CIE</sub>	81.26	-2.88	71.56	71.62	92
G <sub>CIE</sub>	52.23	-42.41	13.6	44.55	162
B <sub>CIE</sub>	30.57	1.41	-46.46	46.49	272

CIELAB-Helligkeit  $L^*$

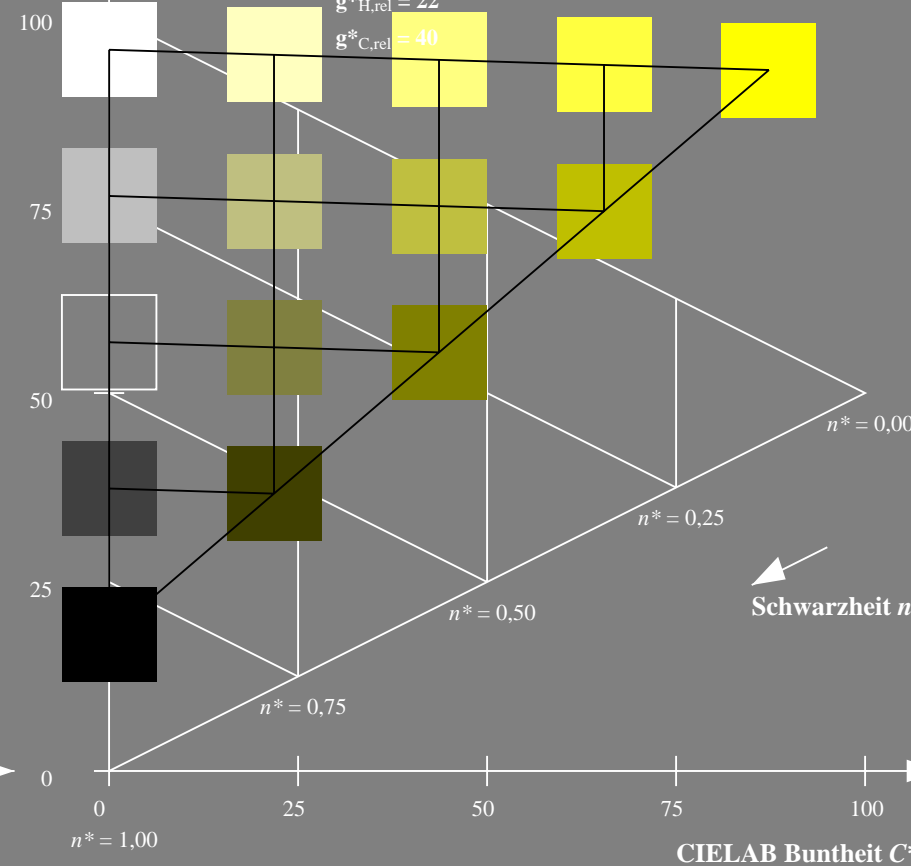
%Umfang

$u^*_{rel} = 118$

%Regularität

$g^*_{H,rel} = 22$

$g^*_{C,rel} = 40$



5 stufige Reihen für konstanten CIELAB Buntton 103/360 = 0.287 (rechts)

BAM-Prüfvorlage NG29; Farbmétrik-Systeme TLS18 & TLS18 input: olv\* setrgbcolor

D65: Koordinatensysteme; 5stufige Farbreihen für 10 Bunttöne output: no change compared to input

Eingabe: Farbmimetrisches Fernseh-Licht-System TLS18

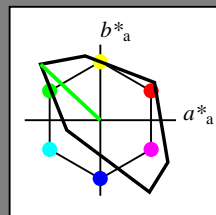
für Buntton  $h^* = lab^*h = 137/360 = 0.38$

$lab^*tch$  und  $lab^*nch$

D65: Buntton L

LCH\*Ma: 84 108 137

olv\*Ma: 0.0 1.0 0.0



TLS18; adaptierte CIELAB-Daten

	$L^*=L^*_a$	$a^*_a$	$b^*_a$	$C^*_{ab,a}$	$h^*_{ab,a}$
O <sub>m</sub>	52.76	71.63	49.88	87.29	35
Y <sub>m</sub>	92.74	-20.02	84.97	87.3	103
L <sub>m</sub>	84.0	-78.98	73.94	108.2	137
C <sub>m</sub>	87.14	-44.41	-13.11	46.32	196
V <sub>m</sub>	35.47	64.92	-95.06	115.12	304
M <sub>m</sub>	59.01	89.33	-55.67	105.26	328
N <sub>m</sub>	18.01	0.0	0.0	0.0	0
W <sub>m</sub>	95.41	0.0	0.0	0.0	0
R <sub>CIE</sub>	39.92	58.74	27.99	65.07	25
J <sub>CIE</sub>	81.26	-2.88	71.56	71.62	92
G <sub>CIE</sub>	52.23	-42.41	13.6	44.55	162
B <sub>CIE</sub>	30.57	1.41	-46.46	46.49	272

Dreiecks-Helligkeit  $t^*$

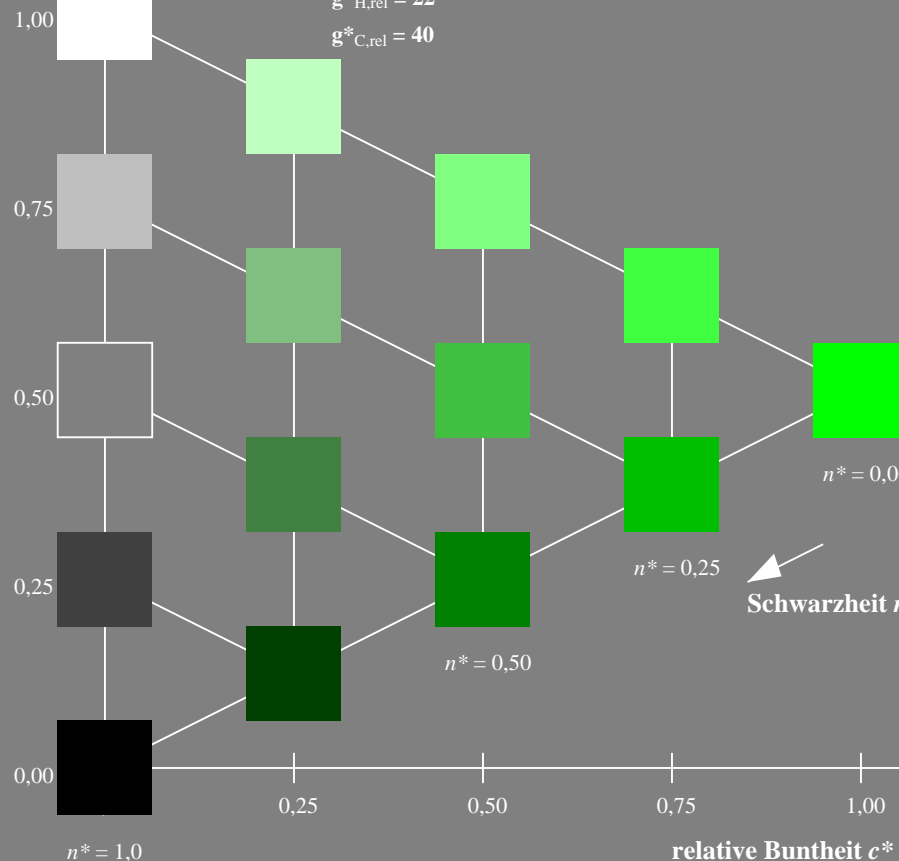
%Umfang

$u^*_{rel} = 118$

%Regularität

$g^*_{H,rel} = 22$

$g^*_{C,rel} = 40$



NG290-7, 5 stufige Reihen für konstanten CIELAB Buntton 137/360 = 0.38 (links)

Ausgabe: Farbmimetrisches Fernseh-Licht-System TLS18

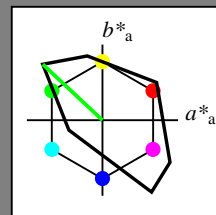
für Buntton  $h^* = lab^*h = 137/360 = 0.38$

$LAB^*LCH$ ,  $LAB^*NCH$

D65: Buntton L

LCH\*Ma: 84 108 137

olv\*Ma: 0.0 1.0 0.0



TLS18; adaptierte CIELAB-Daten

	$L^*=L^*_a$	$a^*_a$	$b^*_a$	$C^*_{ab,a}$	$h^*_{ab,a}$
O <sub>m</sub>	52.76	71.63	49.88	87.29	35
Y <sub>m</sub>	92.74	-20.02	84.97	87.3	103
L <sub>m</sub>	84.0	-78.98	73.94	108.2	137
C <sub>m</sub>	87.14	-44.41	-13.11	46.32	196
V <sub>m</sub>	35.47	64.92	-95.06	115.12	304
M <sub>m</sub>	59.01	89.33	-55.67	105.26	328
N <sub>m</sub>	18.01	0.0	0.0	0.0	0
W <sub>m</sub>	95.41	0.0	0.0	0.0	0
R <sub>CIE</sub>	39.92	58.74	27.99	65.07	25
J <sub>CIE</sub>	81.26	-2.88	71.56	71.62	92
G <sub>CIE</sub>	52.23	-42.41	13.6	44.55	162
B <sub>CIE</sub>	30.57	1.41	-46.46	46.49	272

CIELAB-Helligkeit  $L^*$

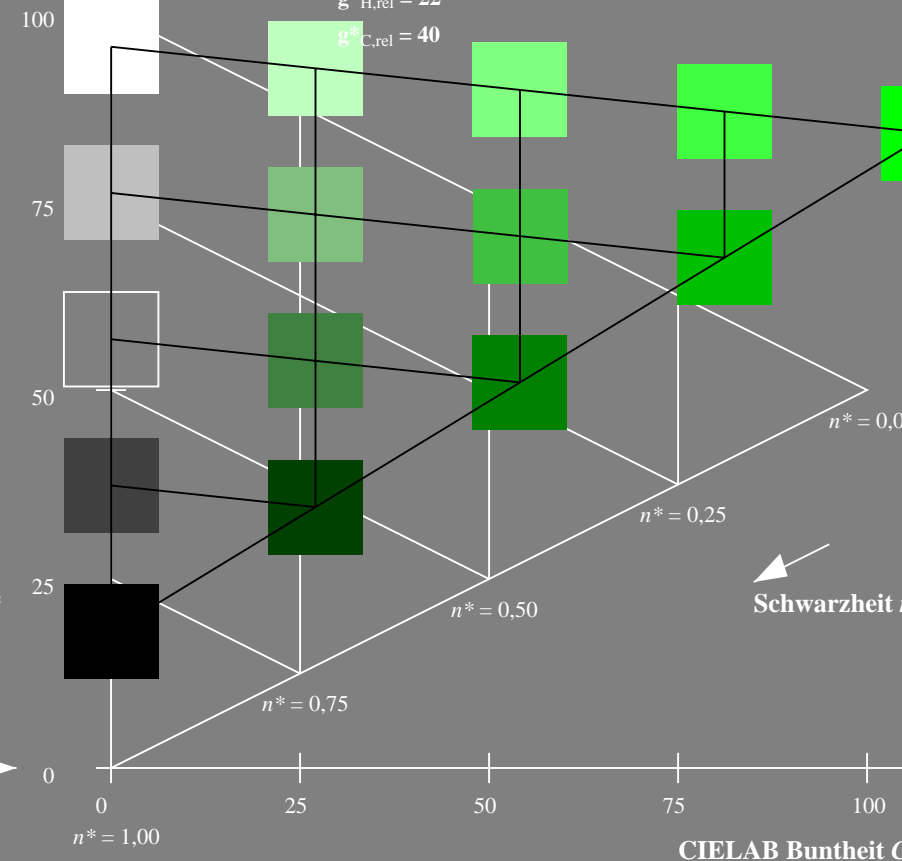
%Umfang

$u^*_{rel} = 118$

%Regularität

$g^*_{H,rel} = 22$

$g^*_{C,rel} = 40$



5 stufige Reihen für konstanten CIELAB Buntton 137/360 = 0.38 (rechts)

BAM-Prüfvorlage NG29; Farbmimetrik-Systeme TLS18 & TLS18 input: olv\* setrgbcolor

D65: Koordinatensysteme; 5stufige Farbreihen für 10 Bunttöne output: no change compared to input

## Eingabe: Farbmétrisches Fernseh-Licht-System TLS18

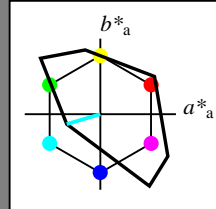
für Buntton  $h^* = lab^*h = 196/360 = 0.546$

*lab\*tch* und *lab\*nch*

## D65: Buntton C

**LCH\*Ma: 87 46 196**

**olv\*Ma: 0.0 1.0 1.0**

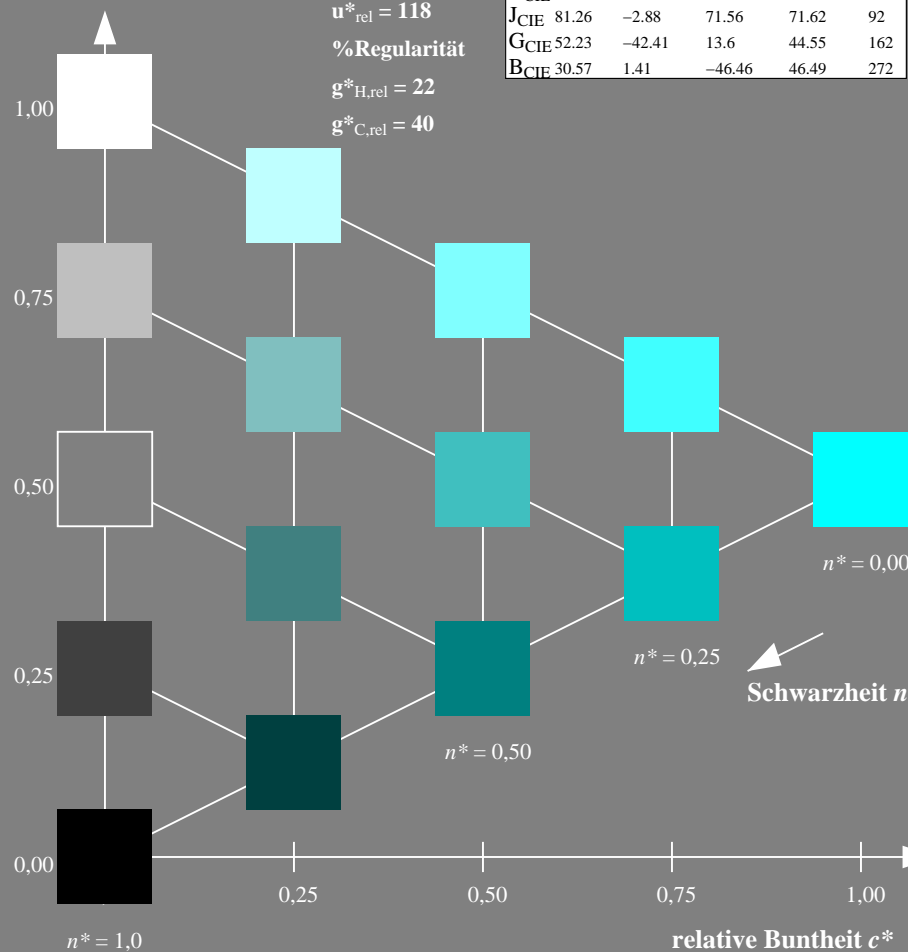


### Dreiecks-Helligkeit $t^*$

## %Umfang

$$\mathbf{u}_{\text{rel}}^* = 118$$

### %Regularität

$$g^*_{H,rel} = 22$$
$$\mathbf{g}_{\text{C,rel}}^* = 40$$


NG290-7, 5 stufige Reihen für konstanten CIELAB Buntton  $196/360 = 0.546$  (links)

BAM-Prüfvorlage NG29; Farbmatrik-Systeme TLS18 & TLS18 input: *olv\* setrgbcolor*

D65: Koordinatensysteme; 5stufige Farbreihen für 10 Bunttöne      output: *no change compared to input*

**Ausgabe: Farbmetrisches Fernseh-Licht-System TLS18**

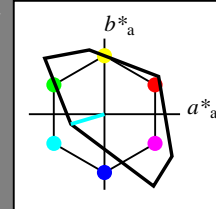
für Buntton  $h^* = l a b^* h = 196/360 = 0.546$

*LAB\*LCH, LAB\*NCH*

## D65: Buntton C

**LCH\*Ma: 87 46 196**

olv\*Ma: 0.0 1.0 1.0

CIELAB-Helligkeit  $L^*$ 

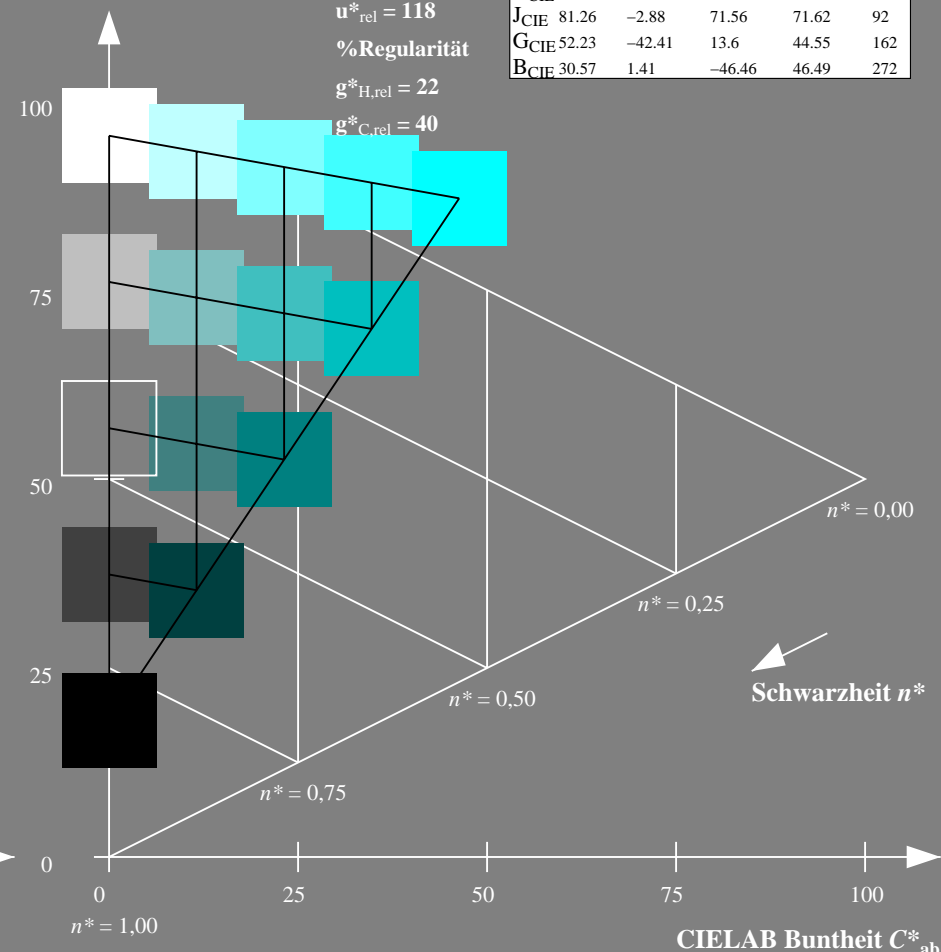
**%Umfang**

$$\mathbf{u}_{\text{rel}}^* = 118$$

**%Regularität**

$$g^*_{H,rel} = 22$$

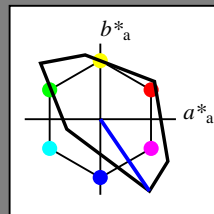
■  $g^*_{C,rel} = 40$

5 stufige Reihen für konstanten CIELAB Buntton  $196/360 = 0.546$  (rechts)

Eingabe: Farbmimetrisches Fernseh-Licht-System TLS18

für Buntton  $h^* = lab \cdot h = 304/360 = 0.845$   
 $lab \cdot tch$  und  $lab \cdot nch$

D65: Buntton V  
LCH\*Ma: 35 115 304  
olv\*Ma: 0.0 0.0 1.0



TLS18; adaptierte CIELAB-Daten

	$L^* = L^*_a$	$a^*_a$	$b^*_a$	$C^*_{ab,a}$	$h^*_{ab,a}$
O <sub>m</sub>	52.76	71.63	49.88	87.29	35
Y <sub>m</sub>	92.74	-20.02	84.97	87.3	103
L <sub>m</sub>	84.0	-78.98	73.94	108.2	137
C <sub>m</sub>	87.14	-44.41	-13.11	46.32	196
V <sub>m</sub>	35.47	64.92	-95.06	115.12	304
M <sub>m</sub>	59.01	89.33	-55.67	105.26	328
N <sub>m</sub>	18.01	0.0	0.0	0.0	0
W <sub>m</sub>	95.41	0.0	0.0	0.0	0
R <sub>CIE</sub>	39.92	58.74	27.99	65.07	25
J <sub>CIE</sub>	81.26	-2.88	71.56	71.62	92
G <sub>CIE</sub>	52.23	-42.41	13.6	44.55	162
B <sub>CIE</sub>	30.57	1.41	-46.46	46.49	272

Dreiecks-Helligkeit  $t^*$

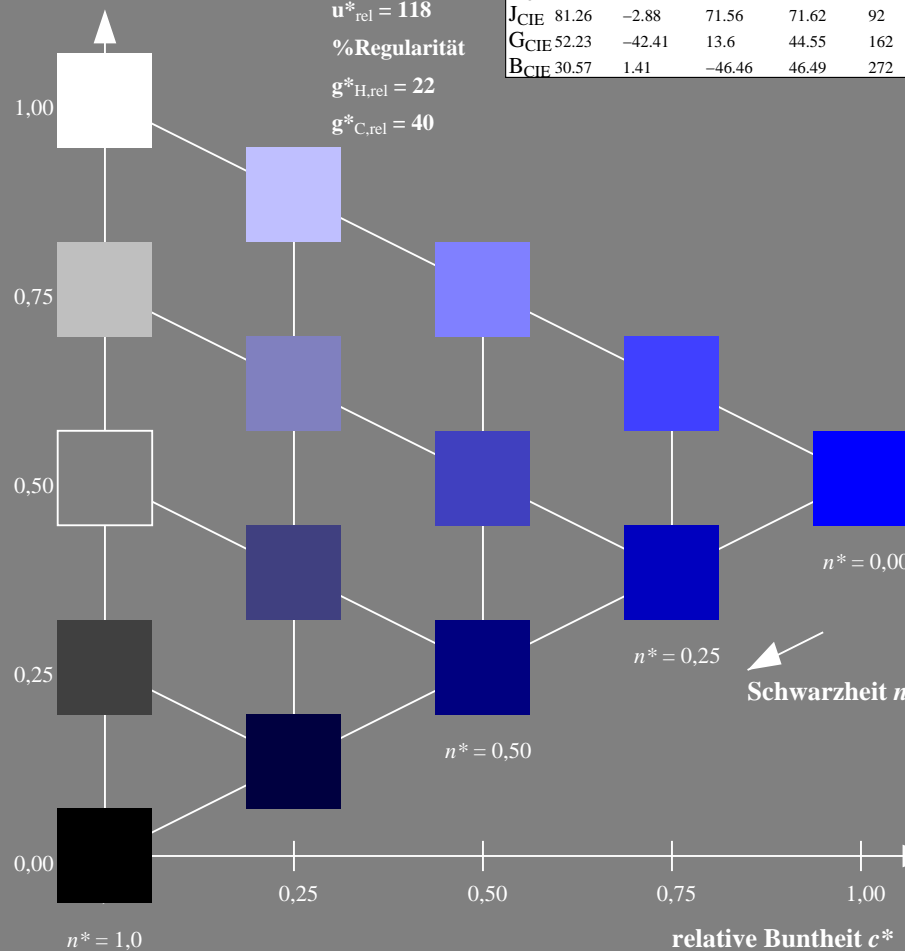
%Umfang

$u^*_{rel} = 118$

%Regularität

$g^*_{H,rel} = 22$

$g^*_{C,rel} = 40$

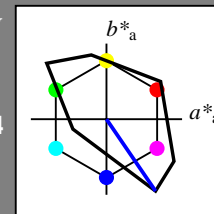


NG290-7, 5 stufige Reihen für konstanten CIELAB Buntton 304/360 = 0.845 (links)

Ausgabe: Farbmimetrisches Fernseh-Licht-System TLS18

für Buntton  $h^* = lab \cdot h = 304/360 = 0.845$   
 $LAB \cdot LCH$ ,  $LAB \cdot NCH$

D65: Buntton V  
LCH\*Ma: 35 115 304  
olv\*Ma: 0.0 0.0 1.0



TLS18; adaptierte CIELAB-Daten

	$L^* = L^*_a$	$a^*_a$	$b^*_a$	$C^*_{ab,a}$	$h^*_{ab,a}$
O <sub>m</sub>	52.76	71.63	49.88	87.29	35
Y <sub>m</sub>	92.74	-20.02	84.97	87.3	103
L <sub>m</sub>	84.0	-78.98	73.94	108.2	137
C <sub>m</sub>	87.14	-44.41	-13.11	46.32	196
V <sub>m</sub>	35.47	64.92	-95.06	115.12	304
M <sub>m</sub>	59.01	89.33	-55.67	105.26	328
N <sub>m</sub>	18.01	0.0	0.0	0.0	0
W <sub>m</sub>	95.41	0.0	0.0	0.0	0
R <sub>CIE</sub>	39.92	58.74	27.99	65.07	25
J <sub>CIE</sub>	81.26	-2.88	71.56	71.62	92
G <sub>CIE</sub>	52.23	-42.41	13.6	44.55	162
B <sub>CIE</sub>	30.57	1.41	-46.46	46.49	272

CIELAB-Helligkeit  $L^*$

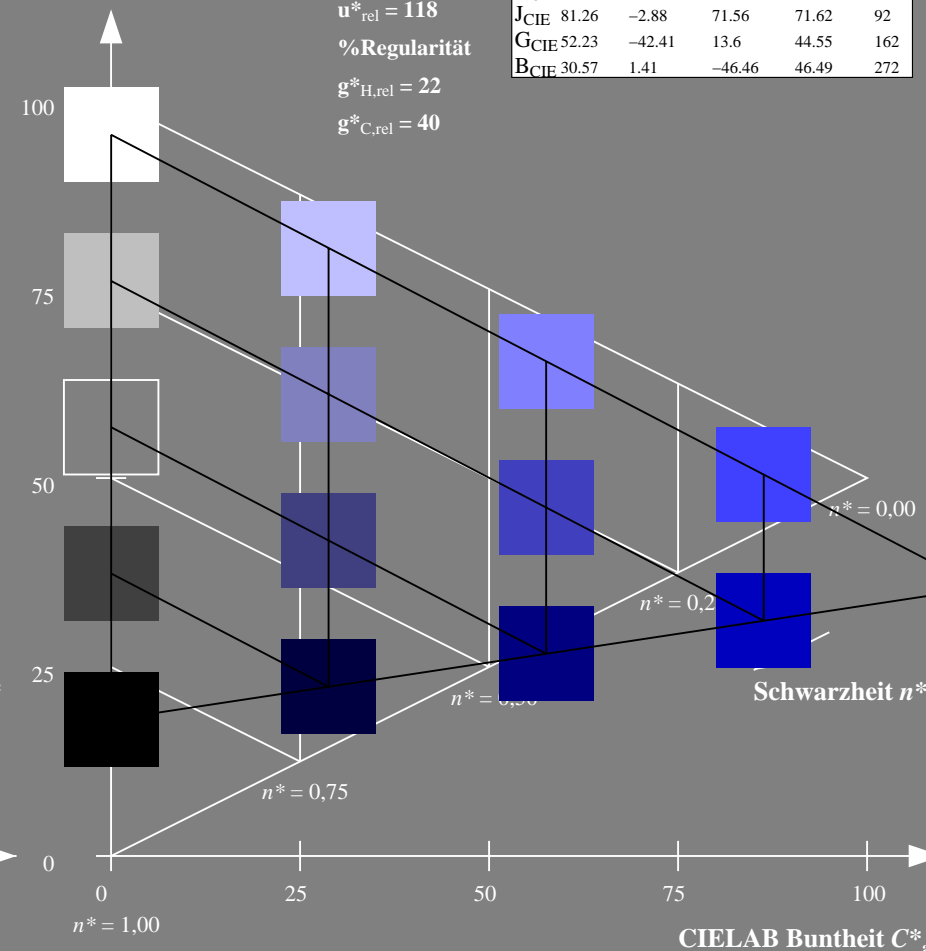
%Umfang

$u^*_{rel} = 118$

%Regularität

$g^*_{H,rel} = 22$

$g^*_{C,rel} = 40$



5 stufige Reihen für konstanten CIELAB Buntton 304/360 = 0.845 (rechts)

BAM-Prüfvorlage NG29; Farbmimetrik-Systeme TLS18 & TLS18 input: olv\* setrgbcolor

D65: Koordinatensysteme; 5stufige Farbreihen für 10 Bunttöne output: no change compared to input

Eingabe: Farbmimetrisches Fernseh-Licht-System TLS18

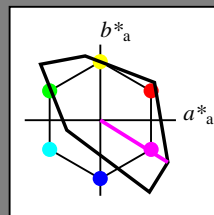
für Buntton  $h^* = lab \cdot h = 328/360 = 0.911$

$lab \cdot tch$  und  $lab \cdot nch$

D65: Buntton M

LCH\*Ma: 59 105 328

olv\*Ma: 1.0 0.0 1.0



TLS18; adaptierte CIELAB-Daten

	$L^*=L^*_a$	$a^*_a$	$b^*_a$	$C^*_{ab,a}$	$h^*_{ab,a}$
$O_m$	52.76	71.63	49.88	87.29	35
$Y_m$	92.74	-20.02	84.97	87.3	103
$L_m$	84.0	-78.98	73.94	108.2	137
$C_m$	87.14	-44.41	-13.11	46.32	196
$V_m$	35.47	64.92	-95.06	115.12	304
$M_m$	59.01	89.33	-55.67	105.26	328
$N_m$	18.01	0.0	0.0	0.0	0
$W_m$	95.41	0.0	0.0	0.0	0
$R_{CIE}$	39.92	58.74	27.99	65.07	25
$J_{CIE}$	81.26	-2.88	71.56	71.62	92
$G_{CIE}$	52.23	-42.41	13.6	44.55	162
$B_{CIE}$	30.57	1.41	-46.46	46.49	272

Dreiecks-Helligkeit  $t^*$

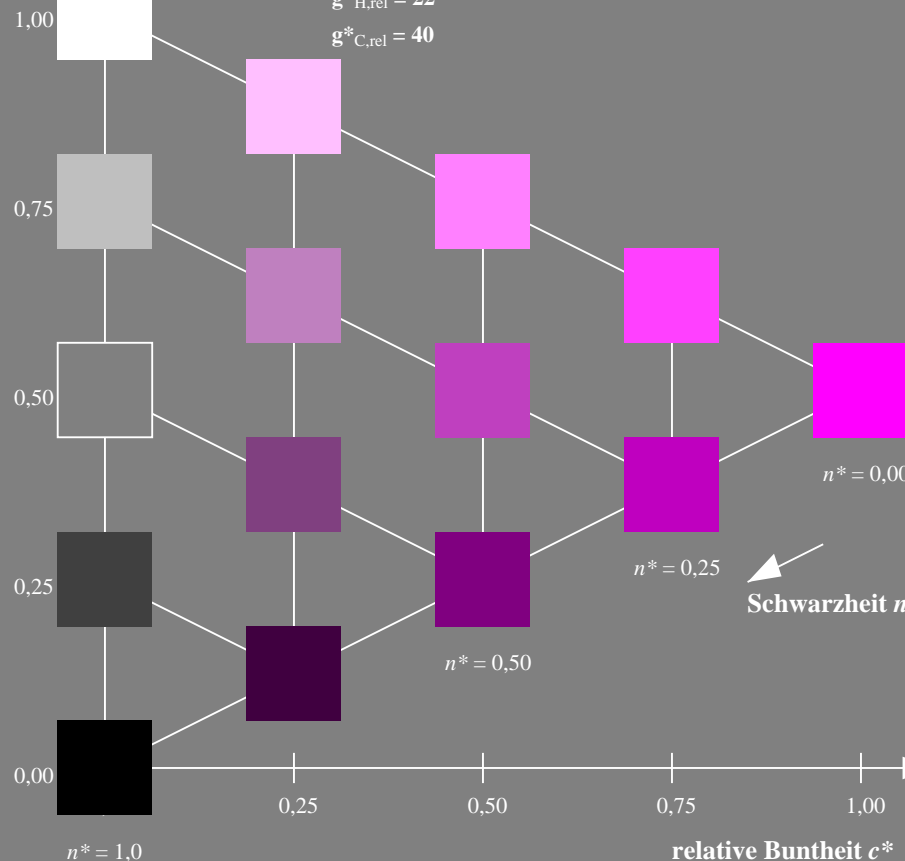
%Umfang

$u^*_{rel} = 118$

%Regularität

$g^*_{H,rel} = 22$

$g^*_{C,rel} = 40$



NG290-7, 5 stufige Reihen für konstanten CIELAB Buntton 328/360 = 0.911 (links)

Ausgabe: Farbmimetrisches Fernseh-Licht-System TLS18

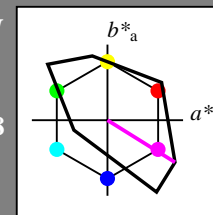
für Buntton  $h^* = lab \cdot h = 328/360 = 0.911$

$LAB \cdot LCH$ ,  $LAB \cdot NCH$

D65: Buntton M

LCH\*Ma: 59 105 328

olv\*Ma: 1.0 0.0 1.0



TLS18; adaptierte CIELAB-Daten

	$L^*=L^*_a$	$a^*_a$	$b^*_a$	$C^*_{ab,a}$	$h^*_{ab,a}$
$O_m$	52.76	71.63	49.88	87.29	35
$Y_m$	92.74	-20.02	84.97	87.3	103
$L_m$	84.0	-78.98	73.94	108.2	137
$C_m$	87.14	-44.41	-13.11	46.32	196
$V_m$	35.47	64.92	-95.06	115.12	304
$M_m$	59.01	89.33	-55.67	105.26	328
$N_m$	18.01	0.0	0.0	0.0	0
$W_m$	95.41	0.0	0.0	0.0	0
$R_{CIE}$	39.92	58.74	27.99	65.07	25
$J_{CIE}$	81.26	-2.88	71.56	71.62	92
$G_{CIE}$	52.23	-42.41	13.6	44.55	162
$B_{CIE}$	30.57	1.41	-46.46	46.49	272

CIELAB-Helligkeit  $L^*$

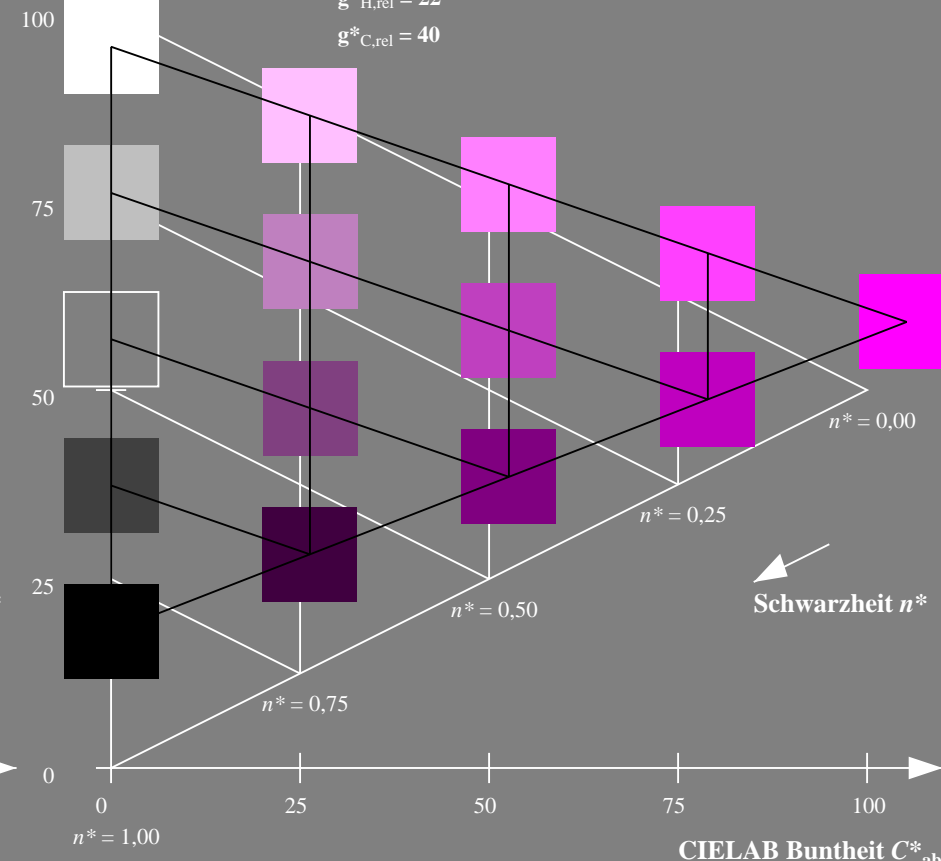
%Umfang

$u^*_{rel} = 118$

%Regularität

$g^*_{H,rel} = 22$

$g^*_{C,rel} = 40$



5 stufige Reihen für konstanten CIELAB Buntton 328/360 = 0.911 (rechts)

BAM-Prüfvorlage NG29; Farbmimetrik-Systeme TLS18 & TLS18 input: olv\* setrgbcolor

D65: Koordinatensysteme; 5stufige Farbreihen für 10 Bunttöne output: no change compared to input

Eingabe: Farbmétrisches Fernseh-Licht-System TLS18

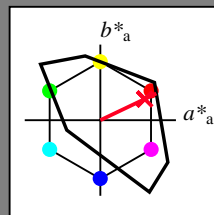
für Buntton  $h^* = lab^*h = 25/360 = 0.071$

$lab^*tch$  und  $lab^*nch$

D65: Buntton R

LCH\*Ma: 54 82 25

olv\*Ma: 1.0 0.0 0.14



TLS18; adaptierte CIELAB-Daten

	$L^*=L^*_a$	$a^*_a$	$b^*_a$	$C^*_{ab,a}$	$h^*_{ab,a}$
O <sub>m</sub>	52.76	71.63	49.88	87.29	35
Y <sub>m</sub>	92.74	-20.02	84.97	87.3	103
L <sub>m</sub>	84.0	-78.98	73.94	108.2	137
C <sub>m</sub>	87.14	-44.41	-13.11	46.32	196
V <sub>m</sub>	35.47	64.92	-95.06	115.12	304
M <sub>m</sub>	59.01	89.33	-55.67	105.26	328
N <sub>m</sub>	18.01	0.0	0.0	0.0	0
W <sub>m</sub>	95.41	0.0	0.0	0.0	0
R <sub>m</sub>	39.92	58.74	27.99	65.07	25
J <sub>m</sub>	81.26	-2.88	71.56	71.62	92
G <sub>m</sub>	52.23	-42.41	13.6	44.55	162
B <sub>m</sub>	30.57	1.41	-46.46	46.49	272

Dreiecks-Helligkeit  $t^*$

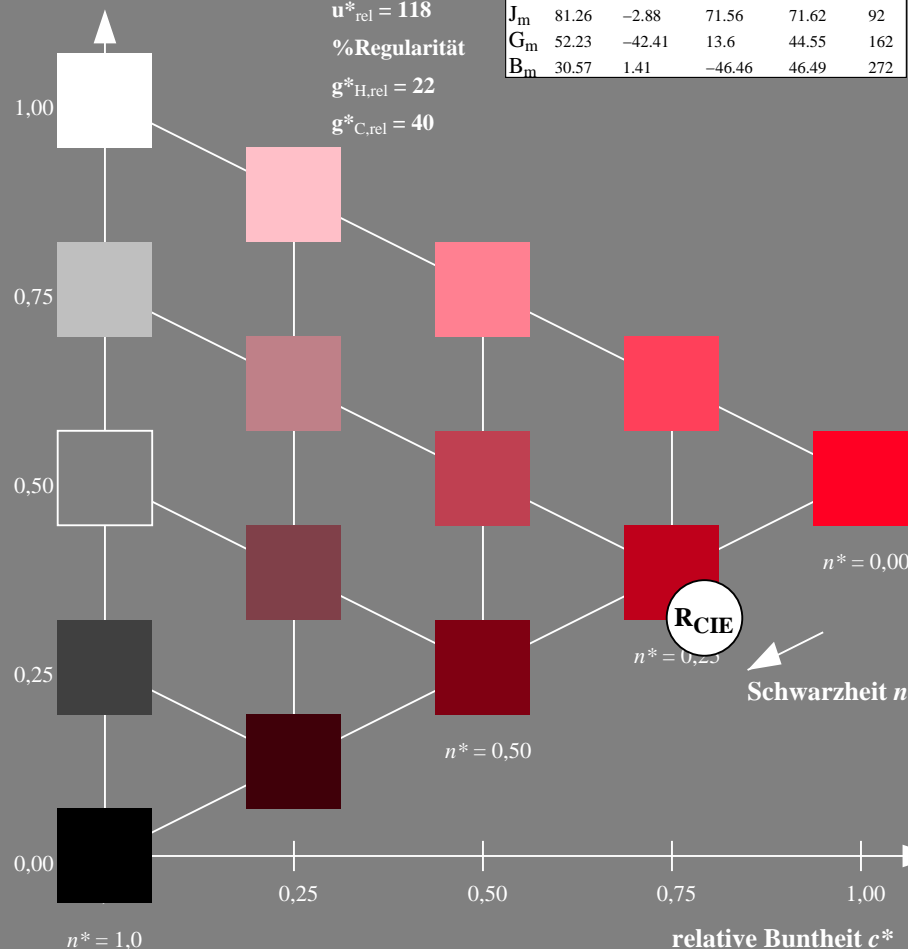
%Umfang

$u^*_{rel} = 118$

%Regularität

$g^*_{H,rel} = 22$

$g^*_{C,rel} = 40$



NG290-7, 5 stufige Reihen für konstanten CIELAB Buntton 25/360 = 0.071 (links)

Ausgabe: Farbmétrisches Fernseh-Licht-System TLS18

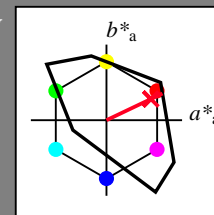
für Buntton  $h^* = lab^*h = 25/360 = 0.071$

$LAB^*LCH$ ,  $LAB^*NCH$

D65: Buntton R

LCH\*Ma: 54 82 25

olv\*Ma: 1.0 0.0 0.14



TLS18; adaptierte CIELAB-Daten

	$L^*=L^*_a$	$a^*_a$	$b^*_a$	$C^*_{ab,a}$	$h^*_{ab,a}$
O <sub>m</sub>	52.76	71.63	49.88	87.29	35
Y <sub>m</sub>	92.74	-20.02	84.97	87.3	103
L <sub>m</sub>	84.0	-78.98	73.94	108.2	137
C <sub>m</sub>	87.14	-44.41	-13.11	46.32	196
V <sub>m</sub>	35.47	64.92	-95.06	115.12	304
M <sub>m</sub>	59.01	89.33	-55.67	105.26	328
N <sub>m</sub>	18.01	0.0	0.0	0.0	0
W <sub>m</sub>	95.41	0.0	0.0	0.0	0
R <sub>m</sub>	39.92	58.74	27.99	65.07	25
J <sub>m</sub>	81.26	-2.88	71.56	71.62	92
G <sub>m</sub>	52.23	-42.41	13.6	44.55	162
B <sub>m</sub>	30.57	1.41	-46.46	46.49	272

CIELAB-Helligkeit  $L^*$

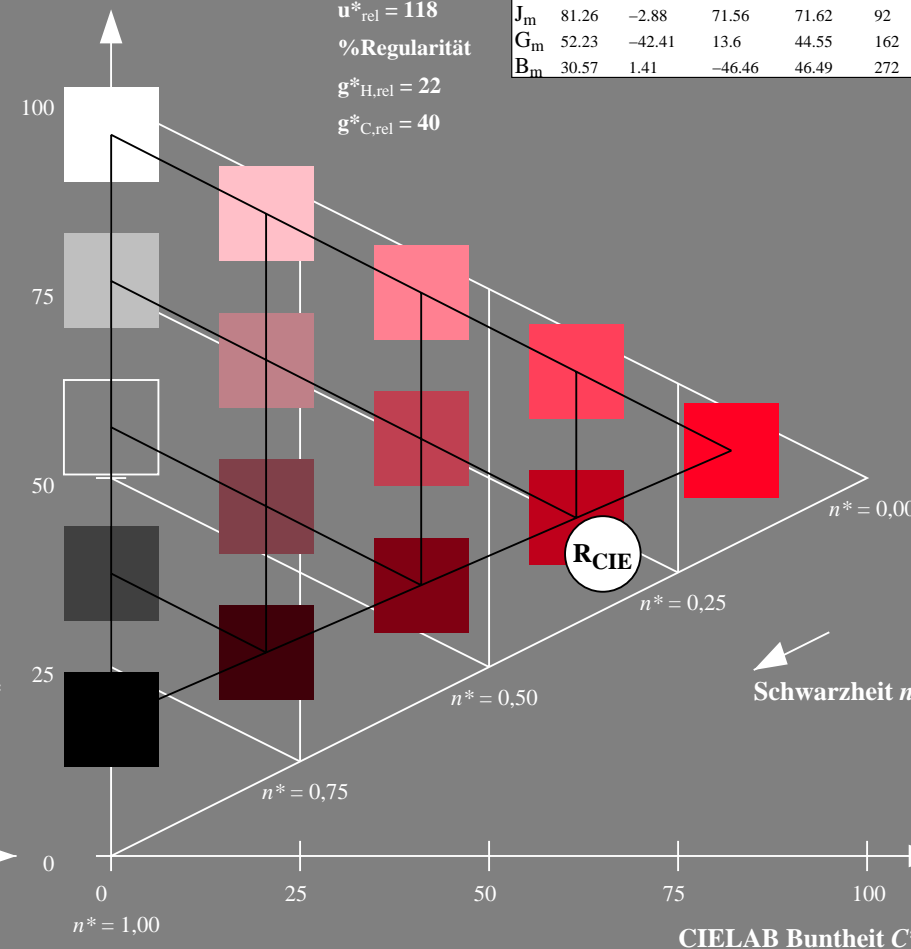
%Umfang

$u^*_{rel} = 118$

%Regularität

$g^*_{H,rel} = 22$

$g^*_{C,rel} = 40$



5 stufige Reihen für konstanten CIELAB Buntton 25/360 = 0.071 (rechts)

BAM-Prüfvorlage NG29; Farbmétrik-Systeme TLS18 & TLS18 input: olv\* setrgbcolor

D65: Koordinatensysteme; 5stufige Farbreihen für 10 Bunttöne output: no change compared to input



Eingabe: Farbmétrisches Fernseh-Licht-System TLS18

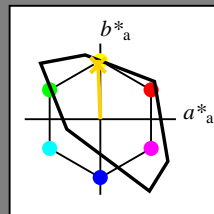
für Buntton  $h^* = lab^*h = 92/360 = 0.256$

$lab^*tch$  und  $lab^*nch$

D65: Buntton J

LCH\*Ma: 85 79 92

olv\*Ma: 1.0 0.82 0.0



TLS18; adaptierte CIELAB-Daten

	$L^*=L^*_a$	$a^*_a$	$b^*_a$	$C^*_{ab,a}$	$h^*_{ab,a}$
O <sub>m</sub>	52.76	71.63	49.88	87.29	35
Y <sub>m</sub>	92.74	-20.02	84.97	87.3	103
L <sub>m</sub>	84.0	-78.98	73.94	108.2	137
C <sub>m</sub>	87.14	-44.41	-13.11	46.32	196
V <sub>m</sub>	35.47	64.92	-95.06	115.12	304
M <sub>m</sub>	59.01	89.33	-55.67	105.26	328
N <sub>m</sub>	18.01	0.0	0.0	0.0	0
W <sub>m</sub>	95.41	0.0	0.0	0.0	0
R <sub>m</sub>	39.92	58.74	27.99	65.07	25
J <sub>m</sub>	81.26	-2.88	71.56	71.62	92
G <sub>m</sub>	52.23	-42.41	13.6	44.55	162
B <sub>m</sub>	30.57	1.41	-46.46	46.49	272

Dreiecks-Helligkeit  $t^*$

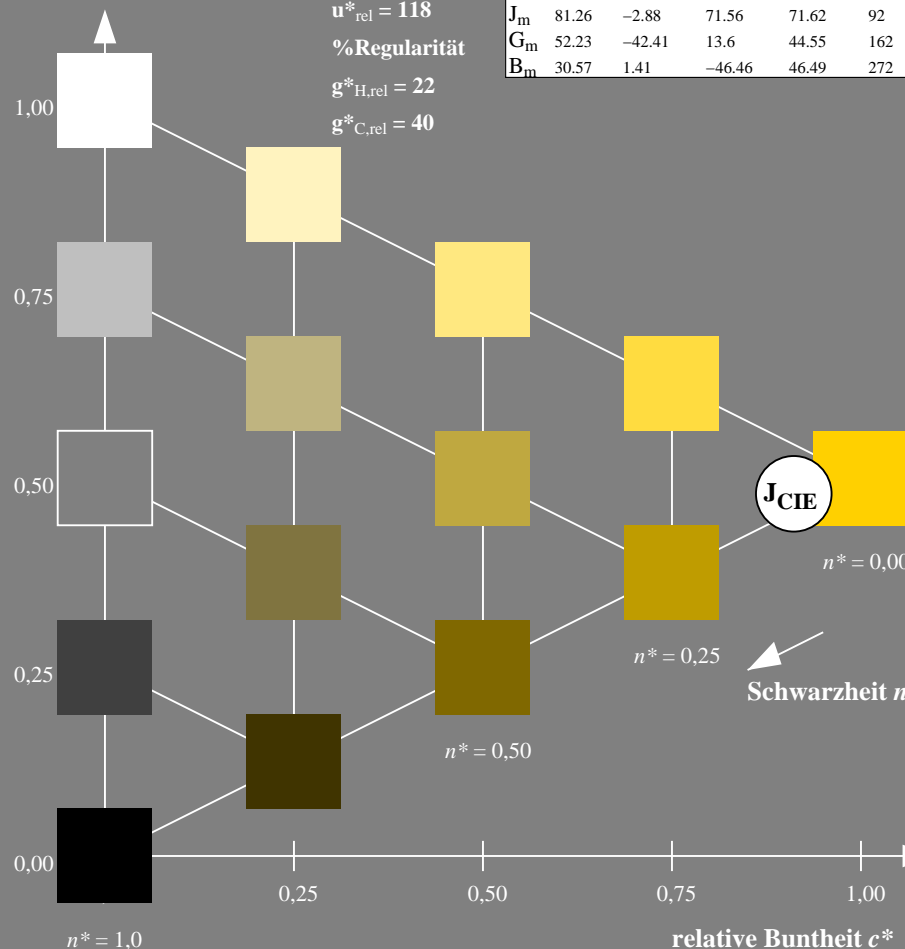
%Umfang

$u^*_{rel} = 118$

%Regularität

$g^*_{H,rel} = 22$

$g^*_{C,rel} = 40$



NG290-7, 5 stufige Reihen für konstanten CIELAB Buntton  $92/360 = 0.256$  (links)

Ausgabe: Farbmétrisches Fernseh-Licht-System TLS18

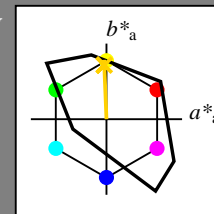
für Buntton  $h^* = lab^*h = 92/360 = 0.256$

$LAB^*LCH$ ,  $LAB^*NCH$

D65: Buntton J

LCH\*Ma: 85 79 92

olv\*Ma: 1.0 0.82 0.0



TLS18; adaptierte CIELAB-Daten

	$L^*=L^*_a$	$a^*_a$	$b^*_a$	$C^*_{ab,a}$	$h^*_{ab,a}$
O <sub>m</sub>	52.76	71.63	49.88	87.29	35
Y <sub>m</sub>	92.74	-20.02	84.97	87.3	103
L <sub>m</sub>	84.0	-78.98	73.94	108.2	137
C <sub>m</sub>	87.14	-44.41	-13.11	46.32	196
V <sub>m</sub>	35.47	64.92	-95.06	115.12	304
M <sub>m</sub>	59.01	89.33	-55.67	105.26	328
N <sub>m</sub>	18.01	0.0	0.0	0.0	0
W <sub>m</sub>	95.41	0.0	0.0	0.0	0
R <sub>m</sub>	39.92	58.74	27.99	65.07	25
J <sub>m</sub>	81.26	-2.88	71.56	71.62	92
G <sub>m</sub>	52.23	-42.41	13.6	44.55	162
B <sub>m</sub>	30.57	1.41	-46.46	46.49	272

CIELAB-Helligkeit  $L^*$

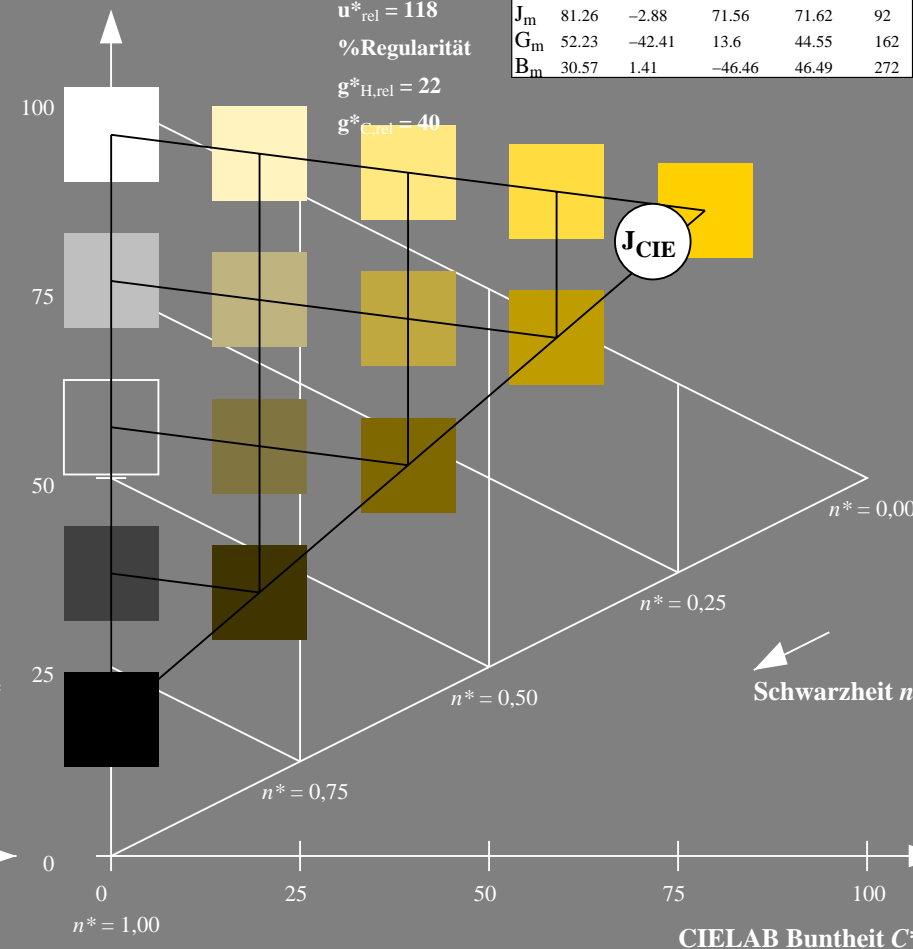
%Umfang

$u^*_{rel} = 118$

%Regularität

$g^*_{H,rel} = 22$

$g^*_{C,rel} = 40$



5 stufige Reihen für konstanten CIELAB Buntton  $92/360 = 0.256$  (rechts)

BAM-Prüfvorlage NG29; Farbmétrik-Systeme TLS18 & TLS18 input: olv\* setrgbcolor

D65: Koordinatensysteme; 5stufige Farbreihen für 10 Bunttöne output: no change compared to input



Eingabe: Farbmétrisches Fernseh-Licht-System TLS18

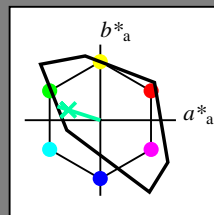
für Buntton  $h^* = lab^*h = 162/360 = 0.451$

$lab^*tch$  und  $lab^*nch$

D65: Buntton G

LCH\*Ma: 86 60 162

olv\*Ma: 0.0 1.0 0.64



TLS18; adaptierte CIELAB-Daten

	$L^*=L^*_a$	$a^*_a$	$b^*_a$	$C^*_{ab,a}$	$h^*_{ab,a}$
O <sub>m</sub>	52.76	71.63	49.88	87.29	35
Y <sub>m</sub>	92.74	-20.02	84.97	87.3	103
L <sub>m</sub>	84.0	-78.98	73.94	108.2	137
C <sub>m</sub>	87.14	-44.41	-13.11	46.32	196
V <sub>m</sub>	35.47	64.92	-95.06	115.12	304
M <sub>m</sub>	59.01	89.33	-55.67	105.26	328
N <sub>m</sub>	18.01	0.0	0.0	0.0	0
W <sub>m</sub>	95.41	0.0	0.0	0.0	0
R <sub>m</sub>	39.92	58.74	27.99	65.07	25
J <sub>m</sub>	81.26	-2.88	71.56	71.62	92
G <sub>m</sub>	52.23	-42.41	13.6	44.55	162
B <sub>m</sub>	30.57	1.41	-46.46	46.49	272

Dreiecks-Helligkeit  $t^*$

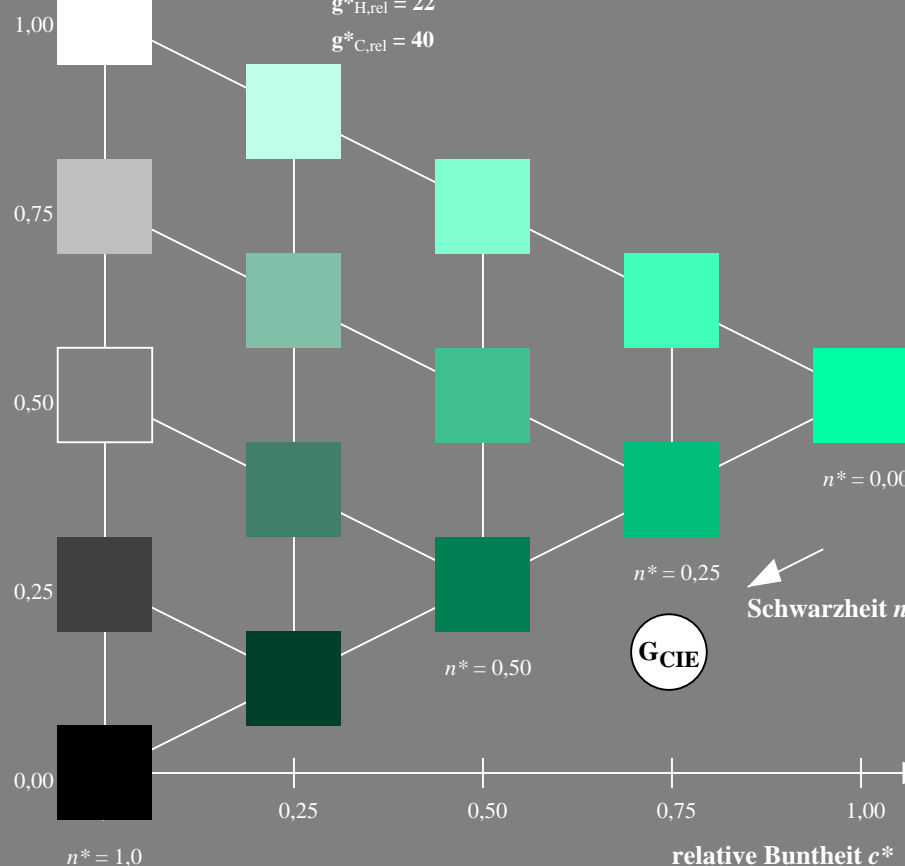
%Umfang

$u^*_{rel} = 118$

%Regularität

$g^*_{H,rel} = 22$

$g^*_{C,rel} = 40$



NG290-7, 5 stufige Reihen für konstanten CIELAB Buntton 162/360 = 0.451 (links)

Ausgabe: Farbmétrisches Fernseh-Licht-System TLS18

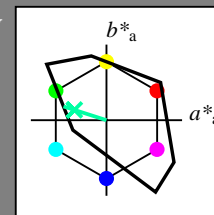
für Buntton  $h^* = lab^*h = 162/360 = 0.451$

$LAB^*LCH, LAB^*NCH$

D65: Buntton G

LCH\*Ma: 86 60 162

olv\*Ma: 0.0 1.0 0.64



TLS18; adaptierte CIELAB-Daten

	$L^*=L^*_a$	$a^*_a$	$b^*_a$	$C^*_{ab,a}$	$h^*_{ab,a}$
O <sub>m</sub>	52.76	71.63	49.88	87.29	35
Y <sub>m</sub>	92.74	-20.02	84.97	87.3	103
L <sub>m</sub>	84.0	-78.98	73.94	108.2	137
C <sub>m</sub>	87.14	-44.41	-13.11	46.32	196
V <sub>m</sub>	35.47	64.92	-95.06	115.12	304
M <sub>m</sub>	59.01	89.33	-55.67	105.26	328
N <sub>m</sub>	18.01	0.0	0.0	0.0	0
W <sub>m</sub>	95.41	0.0	0.0	0.0	0
R <sub>m</sub>	39.92	58.74	27.99	65.07	25
J <sub>m</sub>	81.26	-2.88	71.56	71.62	92
G <sub>m</sub>	52.23	-42.41	13.6	44.55	162
B <sub>m</sub>	30.57	1.41	-46.46	46.49	272

CIELAB-Helligkeit  $L^*$

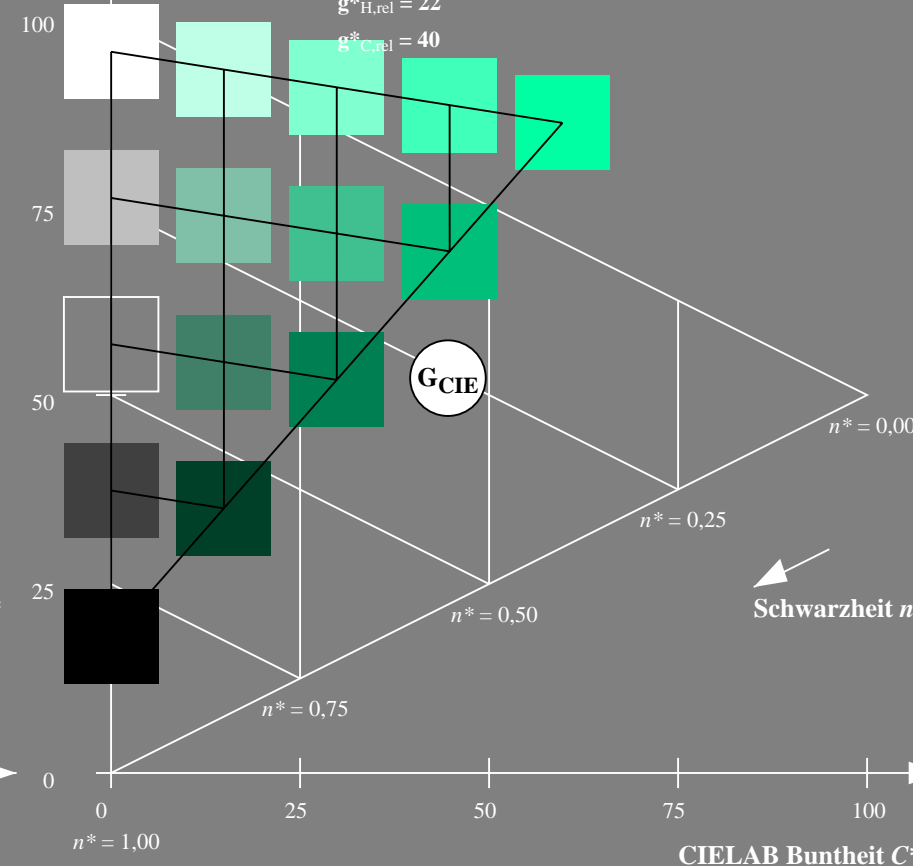
%Umfang

$u^*_{rel} = 118$

%Regularität

$g^*_{H,rel} = 22$

$g^*_{C,rel} = 40$



5 stufige Reihen für konstanten CIELAB Buntton 162/360 = 0.451 (rechts)

BAM-Prüfvorlage NG29; Farbmétrik-Systeme TLS18 & TLS18 input: olv\* setrgbcolor

D65: Koordinatensysteme; 5stufige Farbreihen für 10 Bunttöne output: no change compared to input

Eingabe: Farbmétrisches Fernseh-Licht-System TLS18

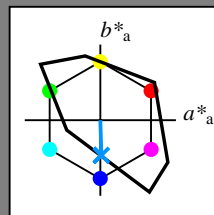
für Buntton  $h^* = lab^*h = 272/360 = 0.755$

$lab^*tch$  und  $lab^*nch$

D65: Buntton B

LCH\*Ma: 65 48 272

olv\*Ma: 0.0 0.58 1.0



TLS18; adaptierte CIELAB-Daten

	$L^*=L^*_a$	$a^*_a$	$b^*_a$	$C^*_{ab,a}$	$h^*_{ab,a}$
O <sub>m</sub>	52.76	71.63	49.88	87.29	35
Y <sub>m</sub>	92.74	-20.02	84.97	87.3	103
L <sub>m</sub>	84.0	-78.98	73.94	108.2	137
C <sub>m</sub>	87.14	-44.41	-13.11	46.32	196
V <sub>m</sub>	35.47	64.92	-95.06	115.12	304
M <sub>m</sub>	59.01	89.33	-55.67	105.26	328
N <sub>m</sub>	18.01	0.0	0.0	0.0	0
W <sub>m</sub>	95.41	0.0	0.0	0.0	0
R <sub>m</sub>	39.92	58.74	27.99	65.07	25
J <sub>m</sub>	81.26	-2.88	71.56	71.62	92
G <sub>m</sub>	52.23	-42.41	13.6	44.55	162
B <sub>m</sub>	30.57	1.41	-46.46	46.49	272

Dreiecks-Helligkeit  $t^*$

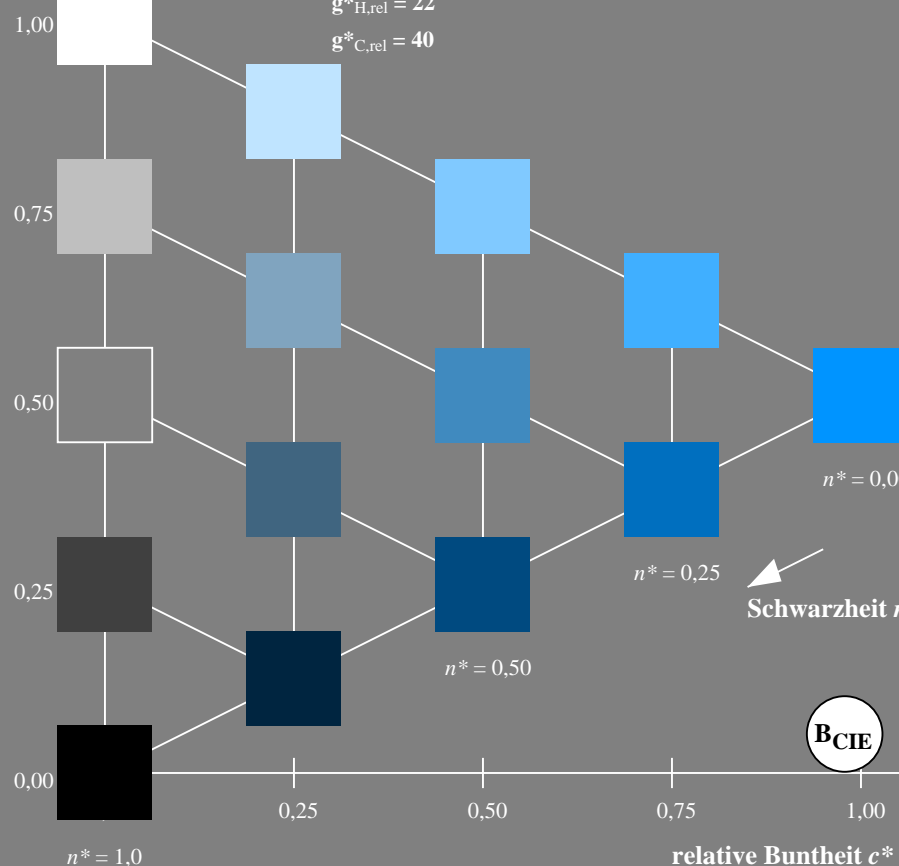
%Umfang

$u^*_{rel} = 118$

%Regularität

$g^*_{H,rel} = 22$

$g^*_{C,rel} = 40$



NG290-7, 5 stufige Reihen für konstanten CIELAB Buntton 272/360 = 0.755 (links)

Ausgabe: Farbmétrisches Fernseh-Licht-System TLS18

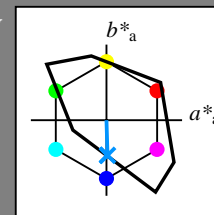
für Buntton  $h^* = lab^*h = 272/360 = 0.755$

$LAB^*LCH$ ,  $LAB^*NCH$

D65: Buntton B

LCH\*Ma: 65 48 272

olv\*Ma: 0.0 0.58 1.0



TLS18; adaptierte CIELAB-Daten

	$L^*=L^*_a$	$a^*_a$	$b^*_a$	$C^*_{ab,a}$	$h^*_{ab,a}$
O <sub>m</sub>	52.76	71.63	49.88	87.29	35
Y <sub>m</sub>	92.74	-20.02	84.97	87.3	103
L <sub>m</sub>	84.0	-78.98	73.94	108.2	137
C <sub>m</sub>	87.14	-44.41	-13.11	46.32	196
V <sub>m</sub>	35.47	64.92	-95.06	115.12	304
M <sub>m</sub>	59.01	89.33	-55.67	105.26	328
N <sub>m</sub>	18.01	0.0	0.0	0.0	0
W <sub>m</sub>	95.41	0.0	0.0	0.0	0
R <sub>m</sub>	39.92	58.74	27.99	65.07	25
J <sub>m</sub>	81.26	-2.88	71.56	71.62	92
G <sub>m</sub>	52.23	-42.41	13.6	44.55	162
B <sub>m</sub>	30.57	1.41	-46.46	46.49	272

CIELAB-Helligkeit  $L^*$

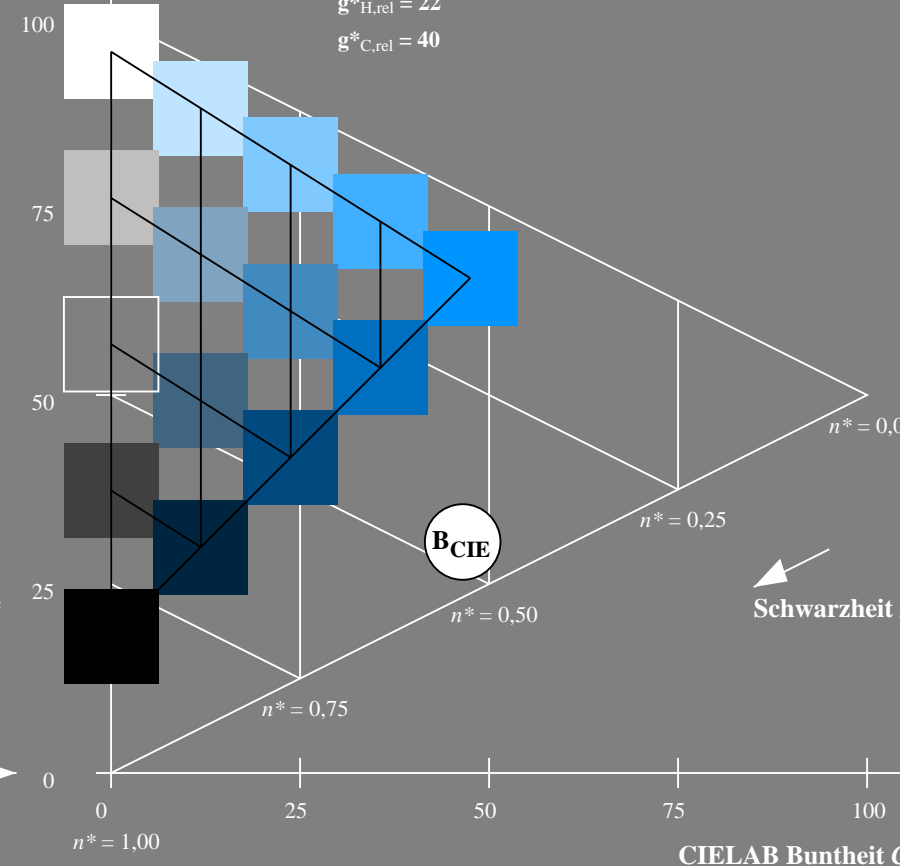
%Umfang

$u^*_{rel} = 118$

%Regularität

$g^*_{H,rel} = 22$

$g^*_{C,rel} = 40$



5 stufige Reihen für konstanten CIELAB Buntton 272/360 = 0.755 (rechts)

BAM-Prüfvorlage NG29; Farbmétrik-Systeme TLS18 & TLS18 input: olv\* setrgbcolor

D65: Koordinatensysteme; 5stufige Farbreihen für 10 Bunttöne output: no change compared to input